



(12) 发明专利

(10) 授权公告号 CN 111291892 B

(45) 授权公告日 2023.01.17

(21) 申请号 202010055786.2

(22) 申请日 2020.01.17

(65) 同一申请的已公布的文献号  
申请公布号 CN 111291892 A

(43) 申请公布日 2020.06.16

(73) 专利权人 深圳大学  
地址 518054 广东省深圳市南山区粤海街  
道南海大道3688号

(72) 发明人 王平 刘光强

(74) 专利代理机构 广州粤高专利商标代理有限公司 44102  
专利代理师 张金福

(51) Int. Cl.  
G06N 10/60 (2022.01)

(56) 对比文件

CN 106197455 A, 2016.12.07

US 7383235 B1, 2008.06.03

Lin Bie etc..Quantum genetics clustering algorithm based on high-Dimensional and multi-chain coding scheme.《2018 Tenth International Conference on Advanced Computational Intelligence (ICACI)》.2018,

审查员 李若童

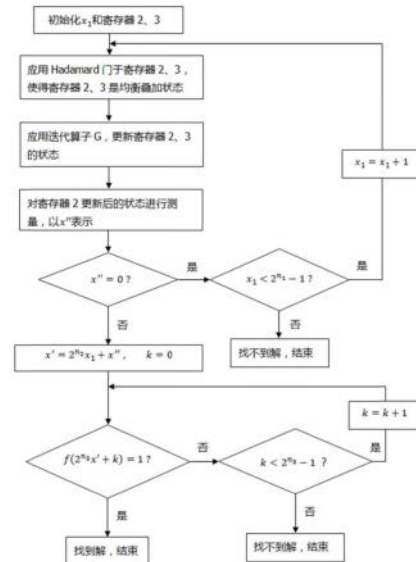
权利要求书2页 说明书12页 附图3页

(54) 发明名称

一种量子并行搜索方法

(57) 摘要

本发明涉及一种量子并行搜索方法,若将 Oracle算子作为一个单元,则本发明所述方法能够在以运行时间复杂度为 $O(2^{n/4})$ 和线路复杂度为 $O(2^{n/4})$ 的情况下以接近1的概率找到搜索问题的解。由Grover算法的性质可知,量子迭代线路由G算子一个接一个串联构成,当输入量子比特数n比较大时,庞大的量子线路规模是Grover算法实际应用的主要障碍。本发明的主要目的在于提出一种改善的Grover量子搜索方法,旨在解决降低现有Grover算法的线路复杂度问题。



1. 一种量子并行搜索方法,其特征在于,所述方法基于量子并行搜索系统来实现,所述系统包括可调用的:寄存器1、寄存器2、寄存器3、G算子、辅助比特0、辅助比特1、Hadamard门、compare线路、受控 $U_H$ 门;

辅助比特0的初始化状态为 $|0\rangle$ 、辅助比特1的初始化状态为 $|1\rangle$ ;

寄存器对应问题的输入;

G算子包括Oracle量子线路,算子U量子线路;

初始化为 $|0\rangle$ 状态的辅助比特0,作用是在Oracle算子里控制寄存器中的量子比特;

初始化为 $|1\rangle$ 状态的辅助比特1辅助翻转解的位置;

Oracle量子线路,用来检查辅助比特的相位来判断x是否为搜索问题的一个解;

算子U量子线路,用来放大搜索问题的解的概率幅值;测量线路,是对算法最后输出状态作测量;

U算子由单位矩阵、Hadamard门和条件相移 $U_x$ 算子组成;

Hadamard门用于变换 $H^{\otimes n_2}$ ;

条件相移 $U_x$ 算子的作用是使得状态 $|0\rangle$ 以外的每一个计算基态获得-1的相位移动;

所述方法包括以下步骤:

S1: 构建一个搜索问题;

S2: 应用Hadamard门于寄存器2和寄存器3,使得寄存器2和寄存器3为均衡状态;

S3: 应用迭代算子G,更新寄存器2和寄存器3的量子状态,增加目标状态的概率幅值同时降低非目标状态的概率幅值;

S4: 对寄存器2更新后的状态进行测量;

S5: 寻找搜索问题的解。

2. 根据权利要求1所述的量子并行搜索方法,其特征在于,S1具体为:假设一个搜索问题 $f(x)$ ,其搜索空间为 $N=2^n$ ,即用n个比特表示其搜索空间大小,将搜索问题表示为一个输入x的函数 $f(x)$ ,则x取值范围是 $[0, 2^n - 1]$ ,函数f的定义是,若x是一个搜索问题的解,则 $f(x) = 1$ ,否则 $f(x) = 0$ ,如果f(x)有唯一解,为了方便起见,令 $x_0$ 表示搜索问题的唯一解,则 $f(x_0) = 1$ ,当 $x \neq x_0$ 使得 $f(x) = 0$ ;找到f(x)的解时即是找到了一个搜索问题的解;

对于搜索问题f(x),先求出g(x)的唯一解 $x'_0$ ,再由 $x'_0$ 求f(x)的 $x_0$ ;

其中, $g(x) = f(2^{n_3}x + 0) \oplus f(2^{n_3}x + 1) \oplus f(2^{n_3}x + 1) \cdots \oplus f(2^{n_3}x + 2^{n_3} - 1)$ ;x的取值范围是 $[0, 2^{n-n_3} - 1]$ ,符号 $\oplus$ 是模二运算。

3. 根据权利要求2所述的量子并行搜索方法,其特征在于,S2包括以下步骤:

S2.1: 设每一个经典取值 $x_1$ 取值范围为 $[0, 2^{n_1} - 1]$ ,并将其经典值转变为二进制值,存储于寄存器1中;寄存器2初始化为状态 $|0\rangle^{\otimes n_2}$ ,寄存器3初始化为状态 $|0\rangle^{\otimes n_3}$ ;辅助量子比特0初始化为 $|0\rangle$ ;辅助量子比特1初始化为 $|1\rangle$ ;

其中, $|0\rangle^{\otimes n_2}$ 表示 $n_2$ 个量子比特的状态都是 $|0\rangle$ 状态;

S2.2: 对寄存器2、寄存器3中的量子比特做Hadamard变换,即分别应用 $H^{\otimes n_2}$ 和 $H^{\otimes n_3}$ 于寄存器2和寄存器3,得到系统所需的均衡叠加状态;对辅助量子比特1做Hadamard变换;

S2.3: 应用Oracle算子于S2.2所得的状态,若存在解,则标志解的位置,否则保持不变;

S2.4: 应用U算子于系统,假设g(x)存在解,则增大解的概率幅,同时减小非解的概率

幅；

其中,U算子由单位矩阵、Hadamard变换 $H^{\otimes n_2}$ 和条件相移 $U_x$ 算子组成；

S2.5:将步骤S2.3和步骤S2.4整合为一个G算子, $G=UO$ ,使用G算子对S2.2后的系统的量子均衡叠加态进行 $\lceil \pi\sqrt{2^{n_2+1}}/4 \rceil$ 次迭代；

其中,O表示Oracle算子。

4.根据权利要求3所述的量子并行搜索方法,其特征在于,在对寄存器2测量之前,再应用一次 $H^{\otimes n_2}$ 于寄存器2；

如果当前子问题不包含 $g(x)$ 的解 $x'_0$ ,则测量值为0;如果当前子问题包含 $g(x)$ 的解 $x'_0$ ,则测量结果值是随机坍缩到 $[0, 2^{n_2} - 1]$ 中的一个值；

若测量值为非零值时,则当前子问题包含 $x'_0$ ,此时,去掉最后一次 $H^{\otimes n_2}$ ,在当前的 $x_1$ 重新执行该系统一次,再测量即可得到 $x'_0$ 对应于 $n_2$ 的部分,假设测量值为 $x''_0$ ,则 $x'_0 = 2^{n_2}x_1 + x''_0$ 。

5.根据权利要求4所述的量子并行搜索方法,其特征在于,S5中搜索问题的解采用穷举法进行寻找。

6.根据权利要求1或5所述的量子并行搜索方法,其特征在于,S5包括以下步骤:

S5.1:判断 $x''_0$ 是否等于0,若不等于0,则 $x'_0 = 2^{n_2}x_1 + x''_0, k=0$ ,并执行S5.2,若等于0,则判断 $x_1 < 2^{n_1} - 1$ ,是否成立,若不成立,则表示找不到解,并结束搜索,若成立,则令 $x_1 = x_1 + 1$ ,并返回S3；

S5.2:判断 $f(2^{n_2}x'_0 + k) = 1$ 是否成立,若成立,则找到解 $x_0 = 2^{n_2}x'_0 + k$ ,并结束搜索;若不成立,则执行S5.3；

S5.3:判断 $k < 2^{n_3} - 1$ 是否成立,若不成立,则表示找不到解,并结束搜索,若成立,则令 $k=k+1$ ,并返回S5.2。

7.根据权利要求6所述的量子并行搜索方法,其特征在于,条件相移 $U_x$ 算子用来使寄存器2中状态 $|0\rangle^{\otimes n_2}$ 以外的每一个计算基态获得-1的相位移动, $U_x$ 算子由 $2|0\rangle\langle 0| - I$ 表示。

8.根据权利要求7所述的量子并行搜索方法,其特征在于,

$$U = (I_{n_1} \otimes H^{\otimes n_2} \otimes I_{n_3}) U_x (I_{n_1} \otimes H^{\otimes n_2} \otimes I_{n_3})。$$

9.根据权利要求8所述的量子并行搜索方法,其特征在于,O用来标志 $g(x)$ 的解的位置,使得状态 $|x'_0\rangle \rightarrow -|x'_0\rangle$ ,其他状态则保持不变,其对应的矩阵用 $I - 2|x'_0\rangle\langle x'_0|$ 表示。

## 一种量子并行搜索方法

### 技术领域

[0001] 本发明涉及信息安全技术领域,更具体地,涉及一种量子并行搜索方法。

### 背景技术

[0002] 量子计算是计算机科学、数学和物理学交叉的新领域,近几十年来,量子计算已经成为信息研究领域关注的焦点。作为一种新的计算模型,量子计算比经典计算要快得多。它依赖于量子力学原理来获得可满足性问题的解。量子的叠加性是量子计算的一个很重要的特性,以输入 $n$ 个量子比特为例,量子计算可以一次计算 $2^n$ 个数据,每个计算结果以一定的概率幅值给出。

[0003] Grover在1996年提出了一种量子搜索算法,Grover算法是目前应用最广泛的量子搜索算法,可以在时间复杂度为 $O(\sqrt{N})$ 的情况下求解一个规模为 $N$ 的无结构数据库中的搜索问题,Grover算法相对于经典算法进行了平方加速。Grover算法通过反复迭代 $[\pi\sqrt{N}/4]$ 次G算子,放大目标状态的概率幅,减小非目标状态的概率幅,最终测量其叠加状态将以接近1的概率找到目标状态。反复应用G算子,这相当于在量子线路串联G算子的量子线路,量子线路越复杂,则需要更多的基础量子门电路和量子比特,每设计一个基础量子门电路和量子比特都需要耗费大量资源。而受限于目前所掌握的技术,量子计算机只能配备少量的量子位,对于只配有少量的量子比特的量子计算机,其实际应用也将受到更大的限制。目前最新的量子计算机是谷歌公司旗下的拥有53位量子比特的量子计算机。因此,本发明设计一个改进的Grover算法,采用时间-空间折衷的方法,以牺牲运算时间次数来降低量子线路的复杂度,从而可以减少量子比特数,使得配有少量的量子比特的量子计算机可以得到更广泛的应用。量子计算机可以加速NP完全问题,如3SAT、图着色、旅行商等NP完全问题。

### 发明内容

[0004] 本发明为克服上述现有技术所述的量子搜索效率低的缺陷,提供一种量子并行搜索方法。

[0005] Grover算法是相对于经典算法是一种二次方加速的量子算法,该算法能够在以运行时间复杂度为 $O(1)$ 和线路复杂度为 $O(\sqrt{N})$ 的情况下以接近1的概率找到问题的解,其中量子线路由G算子一个接一个串联构成,在输入状态经过 $[\pi\sqrt{N}/4]$ 次G算子时,再测量最后的叠加态将以接近1的概率找到解。由Grover算法的性质可知,当输入量子比特数 $n$ 比较大时,庞大的量子线路规模是Grover算法实际应用的主要障碍。

[0006] 本发明所述方法基于量子并行搜索系统来实现,所述系统包括可调用的:寄存器1、寄存器2、寄存器3、G算子、辅助比特0、辅助比特1、Hadamard门、compare线路、受控 $U_H$ 门;

[0007] 辅助比特0的初始化状态为 $|0\rangle$ 、辅助比特1的初始化状态为 $|1\rangle$ 状;

[0008] 寄存器对应问题的输入;

[0009] G算子包括Oracle量子线路,算子U量子线路;

- [0010] 初始化为 $|0\rangle$ 状态的辅助比特0,作用是在Oracle算子里控制寄存器中的量子比特;
- [0011] 初始化为 $|1\rangle$ 状态的辅助比特1辅助翻转解的位置;
- [0012] Oracle量子线路,用来检查辅助比特的相位来判断 $x$ 是否为搜索问题的一个解;
- [0013] 算子 $U$ 量子线路,用来放大搜索问题的解的概率幅值;测量线路,是对算法最后输出状态作测量;还有一些基本的量子门电路;
- [0014]  $U$ 算子由单位矩阵、Hadamard门和条件相移 $U_x$ 算子组成。
- [0015] Hadamard门用于变换 $H^{\otimes n_2}$ ;
- [0016] 条件相移 $U_x$ 算子的作用是使得状态 $|0\rangle$ 以外的每一个计算基态获得-1的相位移动;
- [0017] 所述方法包括以下步骤:
- [0018] S1:构建一个搜索问题;
- [0019] S2:应用Hadamard门于寄存器2和寄存器3,使得寄存器2和寄存器3为均衡状态;
- [0020] S3:应用迭代算子 $G$ ,更新寄存器2和寄存器3的量子状态,增加目标状态的概率幅值同时降低非目标状态的概率幅值;
- [0021] S4:对寄存器2更新后的状态进行测量;
- [0022] S5:寻找搜索问题的解。
- [0023] 优选地,S1具体为:假设一个搜索问题,其搜索空间为 $N=2^n$ ,即可以用 $n$ 个比特表示其搜索空间大小,将搜索问题表示为一个输入 $x$ 的函数 $f(x)$ ,则 $x$ 取值范围是 $[0,2^n-1]$ ,函数 $f$ 的定义是,若 $x$ 是一个搜索问题的解,则 $f(x)=1$ ,否则 $f(x)=0$ ,如果 $f(x)$ 有唯一解,为了方便起见,令 $x_0$ 表示搜索问题的唯一解,则 $f(x_0)=1$ ,当 $x \neq x_0$ 使得 $f(x)=0$ ;找到 $f(x)$ 的解时即是找到了一个搜索问题的解。
- [0024] 对于一个搜索问题 $f(x)$ ,可以先求出 $g(x)$ 的唯一解 $x'_0$ ,再由 $x'_0$ 求 $f(x)$ 的 $x_0$ ;
- [0025] 其中, $g(x) = f(2^{n_3}x + 0) \oplus f(2^{n_3}x + 1) \oplus f(2^{n_3}x + 1) \cdots \oplus f(2^{n_3}x + 2^{n_3} - 1)$ ;  $x$ 的取值范围是 $[0, 2^{n-n_3} - 1]$ ,符号 $\oplus$ 是模二运算(异或);
- [0026] 优选地,S2包括以下步骤:
- [0027] S2.1:设每一个经典取值 $x_1$ 取值范围为 $[0, 2^{n_1} - 1]$ ,并将其经典值转变为二进制值,存储于寄存器1中;寄存器2初始化为状态 $|0\rangle^{\otimes n_2}$ ,寄存器3初始化为状态 $|0\rangle^{\otimes n_3}$ ;辅助量子比特0初始化为 $|0\rangle$ ;辅助量子比特1初始化为 $|1\rangle$ ;
- [0028] 其中, $|0\rangle^{\otimes n_2}$ 表示 $n_2$ 个量子比特的状态都是 $|0\rangle$ 状态;
- [0029] S2.2:对寄存器2、寄存器3中的量子比特做Hadamard变换,即分别应用 $H^{\otimes n_2}$ 和 $H^{\otimes n_3}$ 于寄存器2和寄存器3,得到系统所需的均衡叠加状态;对辅助量子比特1做Hadamard变换;
- [0030] S2.3:应用Oracle算子于S2.2所得的状态,若存在解,则标志解的位置,否则保持不变;
- [0031] S2.4:应用 $U$ 算子于系统,假设 $g(x)$ 存在解,则增大解的概率幅,同时减小非解的概率幅;

- [0032] 其中,U算子由单位矩阵、Hadamard变换 $H^{\otimes n_2}$ 和条件相移 $U_x$ 算子组成;
- [0033] S2.5:将S2.3和S2.4整合为一个G算子, $G=UO$ ,使用G算子对S2.2后的系统的量子均衡叠加态进行 $[\pi\sqrt{2^{n_2+1}}/4]$ 次迭代;
- [0034] 其中,0表示Oracle算子;
- [0035] 优选地,在对寄存器2测量之前,再应用一次 $H^{\otimes n_2}$ 于寄存器2;
- [0036] 如果当前子问题不包含 $g(x)$ 的解 $x'_0$ ,则测量值为0;如果当前子问题包含 $g(x)$ 的解 $x'_0$ ,则测量结果值是随机坍缩到 $[0, 2^{n_2} - 1]$ 中的一个值;
- [0037] 若测量值为非零值时,则当前子问题包含 $x'_0$ ,此时,去掉最后一次 $H^{\otimes n_2}$ ,在当前的 $x_1$ 值重新执行该系统一次,再测量即可得到 $x'_0$ 对应于 $n_2$ 的部分,假设测量值为 $x''_0$ ,则 $x'_0 = 2^{n_2}x_1 + x''_0$ 。
- [0038] 优选地,S5中搜索问题的解采用穷举法进行寻找。
- [0039] 优选地,S5包括以下步骤:
- [0040] S5.1:判断 $x''_0$ 是否等于0,若不等于0,则 $x'_0 = 2^{n_2}x_1 + x''_0$ , $k=0$ ,并执行S5.2,若等于0,则判断 $x_1 < 2^{n_1} - 1$ ,是否成立,若不成立,则表示找不到解,并结束搜索,若成立,则令 $x_1 = x_1 + 1$ ,并返回S3;
- [0041] S5.2:判断 $f(2^{n_2}x'_0 + k) = 1$ 是否成立,若成立,则找到解 $x_0 = 2^{n_2}x'_0 + k$ ,并结束搜索;若不成立,则执行S5.3;
- [0042] S5.3:判断 $k < 2^{n_3} - 1$ 是否成立,若不成立,则表示找不到解,并结束搜索,若成立,则令 $k = k + 1$ ,并返回S5.2。
- [0043] 优选地,条件相移 $U_x$ 算子的作用是使得寄存器2中状态 $|0\rangle^{\otimes n_2}$ 以外的每一个计算基态获得-1的相位移动, $U_x$ 算子由 $2|0\rangle\langle 0| - I$ 表示。
- [0044] 优选地, $U = (I_{n_1} \otimes H^{\otimes n_2} \otimes I_{n_3})U_x(I_{n_1} \otimes H^{\otimes n_2} \otimes I_{n_3})$
- [0045] 优选地,0的作用是标志 $g(x)$ 的解的位置,使得状态 $|x'_0\rangle \rightarrow -|x'_0\rangle$ ,其他状态则保持不变,其对应的矩阵可以用 $I - 2|x'_0\rangle\langle x'_0|$ 表示。
- [0046] 与现有技术相比,本发明技术方案的有益效果是:现有的Grover算法的线路复杂度为 $O(2^{n/2})$ 。而改进的Grover算法,如果将Oracle算子看成一个单元,则改进的算法量子线路复杂度为 $O(2^{n/4})$ ,运行时间复杂度为 $O(2^{n/4})$ ,因此,减少了大量的量子门的应用和所需的量子比特数量,使得配有少量的量子计算机可以得到更为广泛的应用。

## 附图说明

- [0047] 图1为量子并行搜索方法的流程图;
- [0048] 图2为具有通用输入的Grover算法的线路框架图;
- [0049] 图3为改进Grover量子搜索算法的线路框架图;
- [0050] 图4为改进Grover算法的Oracle算子线路框架图;
- [0051] 图5为Grover量子搜索算法的几何过程描述图。

## 具体实施方式

[0052] 附图仅用于示例性说明,不能理解为对本专利的限制;

[0053] 为了更好地说明本实施例,附图某些部件会有省略、放大或缩小,并不代表实际产品的尺寸;

[0054] 对于本领域技术人员来说,附图中某些公知结构及其说明可能省略是可以理解的。

[0055] 下面结合附图和实施例对本发明的技术方案做进一步的说明。

[0056] 实施例1:

[0057] 本实施例提供一种量子并行搜索方法,所述方法基于量子并行搜索系统来实现,所述系统包括可调用的:寄存器1、寄存器2、寄存器3、G算子、辅助比特0、辅助比特1、Hadamard门、compare线路、受控 $U_H$ 门;

[0058] 辅助比特0的初始化状态为 $|0\rangle$ 、辅助比特1的初始化状态为 $|1\rangle$ 状;

[0059] 寄存器对应问题的输入;

[0060] G算子包括Oracle量子线路,算子U量子线路;

[0061] 初始化为 $|0\rangle$ 状态的辅助比特0,作用是在Oracle算子里控制寄存器中的量子比特;

[0062] 初始化为 $|1\rangle$ 状态的辅助比特1辅助翻转解的位置;

[0063] Oracle量子线路,用来检查辅助比特的相位来判断x是否为搜索问题的一个解;

[0064] 算子U量子线路,用来放大搜索问题的解的概率幅值;测量线路,是对算法最后输出状态作测量;还有一些基本的量子门电路;

[0065] U算子由单位矩阵、Hadamard门和条件相移 $U_x$ 算子组成。

[0066] Hadamard门用于变换 $H^{\otimes n_2}$ ;

[0067] 条件相移 $U_x$ 算子的作用是使得状态 $|0\rangle$ 以外的每一个计算基态获得-1的相位移动;

[0068] 如图1所示,所述方法包括以下步骤:

[0069] S1:构建一个搜索问题;

[0070] S2:应用Hadamard门于寄存器2和寄存器3,使得寄存器2和寄存器3为均衡状态;

[0071] S3:应用迭代算子G,更新寄存器2和寄存器3的量子状态,增加目标状态的概率幅值同时降低非目标状态的概率幅值;

[0072] S4:对寄存器2更新后的状态进行测量;

[0073] S5:寻找搜索问题的解。

[0074] 具体来说,首先假设函数 $f(x)$ 表示一个搜索问题,若 $f(x) = 1$ 则表示找到解, $f(x) = 0$ 则找不到解,其搜索空间为 $N = 2^n$ 的问题,即x的取值范围是 $[0, 2^n - 1]$ ,如果 $f(x)$ 有唯一解 $x_0$ 使得 $f(x_0) = 1$ ,x的其他取值都使得 $f(x) = 0$ 。Grover算法可以在线路复杂度为 $O(\sqrt{N})$ 的情况下找到 $f(x)$ 的唯一解 $x_0$ ,当输入比特数n比较大时,量子线路消耗过大,为了降低线路规模,考虑将n个输入比特分成两部分: $n_1$ 和 $n_2$ ,其中 $n_1 + n_2 = n$ 并且 $n_1$ 为经典比特。经典比特 $n_1$ 的输入范围是 $[0, 2^{n_1} - 1]$ ,可以将原来的问题转为 $2^{n_1}$ 个子搜索问题,每个子问题对应于 $n_2$ 个量子比特的输入的Grover搜索算法。对于每一个经典取值 $x_1 \in [0, 2^{n_1} - 1]$ ,算法的子搜索

空间为  $X_1 = \{2^{n_2}x_1, 2^{n_2}x_1 + 1, \dots, 2^{n_2}(x_1 + 1) - 1\}$ , 对于  $x_1$  的全部取值, 即  $U_{x_1=0}^{2^{n_1}-1} X_1 = X$ , 其对应搜索空间为原来问题的搜索空间  $2^n$ , 因此,  $f(x)$  的解  $x_0$  必定存在于其中一个搜索子问题。该方法可以在运行时间复杂度为  $O(2^{n_1})$  和线路复杂度为  $O(2^{n_2/2})$  的情况下以接近1的概率找到问题的解。假设  $n_1$  取值为  $n/3$ ,  $n_2$  取值为  $2n/3$ , (若  $n$  不能被3整除, 则取  $n_1 = n - n_2$ ,  $n_2 = \lceil 2n/3 \rceil$ ), 则该方法的运行时间复杂度为  $O(2^{n/3})$  和线路复杂度为  $O(2^{n/3})$ 。因此, 相比于原来的Grover算法, 该方法将量子线路从  $O(2^{n/2})$  降至  $O(2^{n/3})$ 。为实现该算法, 需要准备两个寄存器和一个辅助量子比特, 寄存器1存储  $n_1$  个经典比特, 寄存2存储  $n_2$  个量子比特。整个量子线路图如图2所示。

[0075] 步骤1.  $x_1$  取值范围为  $[0, 2^{n_1} - 1]$ , 并将其经典值转变为二进制值, 存储于寄存器1中; 寄存器2初始化为状态  $|0\rangle^{\otimes n_2}$ ; 辅助量子比特初始化为  $|1\rangle$ 。

[0076] 步骤2. 对寄存器2中的量子比特做变换, 即应用Hadamard变换  $H^{\otimes n_2}$  于寄存器2, 得到系统所需的均衡叠加状态; 对辅助量子比特做Hadamard变换  $H$  得到辅助量子比特的叠加态。

[0077] 步骤3. 应用Oracle算子于步骤2所得的状态, Oracle算子可以查找系统的均衡叠加态中是否存在问题解的状态, 若存在所述问题解的状态, 则标记所述问题解的状态, 若不存在所述问题解的状态, 则保持原状态, 即Oracle算子对系统不起任何作用。

[0078] 步骤4. 对在Oracle算子应用于系统后得到的状态, 应用Hadamard变换  $H^{\otimes n_2}$  于寄存器2。

[0079] 步骤5. 在系统执行条件相移  $U_x$  算子, 使得寄存器2中状态  $|0\rangle^{\otimes n_2}$  以外的每一个计算基态获得-1的相位移动。

[0080] 步骤6. 对在  $U_x$  算子应用于系统后得到的状态, 应用Hadamard变换  $H^{\otimes n_2}$  于寄存器2。

[0081] 对于步骤4、5、6所做的算子运算可以写成算子  $U$ , 该算子亦称为关于均值的反演运算。将Oracle算子和  $U$  结合写成  $G$  算子, 该算子对应于Grover算法中的  $G$  算子。使用  $G$  算子对步骤2后的系统的量子均衡叠加态进行  $\lceil \pi\sqrt{2^{n_2}}/4 \rceil$  次迭代并在每次迭代后更新系统的叠加态。在对寄存器2测量之前, 再应用一次  $H^{\otimes n_2}$  于寄存器2, 如果当前子问题不包含原问题的解, 测量得到的结果值一定是0。如果测量结果是非零值, 则去掉最后一次变换  $H^{\otimes n_2}$ , 在不改变当前  $x_1$  的值, 重新执行一次该系统再测量, 假设测量值为  $x'$ , 则  $x_0 = 2^{n_2}x_1 + x'$ 。

[0082] 为了更进一步降低量子线路规模, 对于搜索空间为  $N = 2^n$  的  $f(x)$ , 将  $n$  个输入比特分为三个部分:  $n_1$ 、 $n_2$  和  $n_3$ , 其中  $n_1 + n_2 + n_3 = n$ 。对于原问题  $f(x)$ , 当且仅当  $x$  的取值为  $x_0$  时, 使得  $f(x_0) = 1$ , 对于  $x \neq x_0$ ,  $f(x) = 0$ 。设计一个布尔函数  $g(x)$ 。

[0083] 
$$g(x) = f(2^{n_3}x + 0) \oplus f(2^{n_3}x + 1) \oplus f(2^{n_3}x + 1) \cdots \oplus f(2^{n_3}x + 2^{n_3} - 1)$$

[0084] 其中,  $x$  的取值范围是  $[0, 2^{n-n_3} - 1]$ , 符号  $\oplus$  是模二运算 (异或)。因此, 对于  $f(x)$  存在唯一解  $x_0$ , 使得  $f(x_0) = 1$ , 相应地, 对应  $g(x)$  也同样存在唯一的值  $x_0'$ , 使得  $g(x_0') = 1$ , 对于  $x \neq x_0'$ , 则  $g(x) = 0$ 。假设可以找到  $x_0'$ , 则同样可以找到原问题的解  $x_0$ ,  $x_0 = 2^{n_3}x_0' + k$ , 其中  $k \in [0, 2^{n_3} - 1]$ 。为了找到具体的解  $x_0$ , 可以通过简单的穷举搜索计算  $f(2^{n_3}x_0' + k)$  是否

等于1来确定k值,其运行时间复杂度为 $O(2^{n_3})$ 。

[0085] 为了获得布尔函数 $g(x)$ 的唯一解 $x'_0$ 使得 $g(x)=1$ ,利用前面所述的方法, $n_1$ 为经典比特,其取值范围是 $[0, 2^{n_1} - 1]$ ,因此,可以将求解布尔函数 $g(x)$ 的问题转为 $2^{n_1}$ 个子搜索问题,每个子问题对应于 $n_2$ 个量子比特的输入的量子搜索算法,则 $x'_0$ 必定存在于其中一个子问题中。因此,可以在运行时间复杂度为 $O(2^{n_1})$ 和线路复杂度为 $O(2^{n_2/2})$ 的情况下以接近1的概率找到 $g(x)$ 的唯一解 $x'_0$ 。在获得 $g(x)$ 的解 $x'_0$ 之后,可以通过简单的穷举搜索计算 $f(2^{n_3}x'_0 + k)$ 来找到 $f(x)$ 的解 $x_0 = 2^{n_3}x'_0 + k$ ,其运算时间复杂度为 $O(2^{n_3})$ 。假设 $n_1$ 取值为 $n/4$ , $n_2$ 取值为 $n/2$ , $n_3$ 取值为 $n/4$ (若 $n$ 不能被4整除,则取

$n_1 = [n/4]$ ,  $n_2 = [n/2]$ ,  $n_3 = n - n_1 - n_2$ ),如果将Oracle算子看做一个单元,则该方法寻找 $g(x)$ 的解 $x'_0$ 的时间复杂度为 $O(2^{n/4})$ 和线路复杂度为 $O(2^{n/4})$ ,最后再以运算时间复杂度为 $O(2^{n/4})$ 简单穷举搜索获得 $f(x)$ 的解 $x_0$ 。实现该算法的整个量子线路框架图如图3所示,其中寄存器1存储 $n_1$ 个经典比特,寄存2存储 $n_2$ 个量子比特,寄存3存储 $n_3$ 个量子比特,辅助比特0主要作用是在Oracle算子里控制寄存器3中的量子比特,辅助比特1和前面所述方法一致。该算法与前面述所方法的步骤类似,下面作简要概述。对于图3,将最里面的虚线框包含两个Hadamard变换 $H^{\otimes n_2}$ 和条件相移 $U_x$ 算子写成一个U算子,U算子主要作用是对寄存器2中的量子比特作均值的反演运算,条件相移 $U_x$ 算子与前面述所一样。

[0086] 步骤1. $x_1$ 取值范围为 $[0, 2^{n_1} - 1]$ ,并将其经典值转变为二进制值,存储于寄存器1中;寄存器2初始化为状态 $|0\rangle^{\otimes n_2}$ ,寄存器3初始化为状态 $|0\rangle^{\otimes n_3}$ ;辅助量子比特0初始化为 $|0\rangle$ ;辅助量子比特1初始化为 $|1\rangle$ 。

[0087] 步骤2.对寄存器2、寄存器3中的量子比特做Hadamard变换,即分别应用 $H^{\otimes n_2}$ 和 $H^{\otimes n_3}$ 于寄存器2和寄存器3,得到系统所需的均衡叠加状态;对辅助量子比特1做Hadamard变换。

[0088] 步骤3.应用Oracle算子于步骤2所得的状态,Oracle算子主要是标志 $g(x)$ 的解 $x'_0$ 的位置,如果不存在解,则保持原状态,即Oracle算子对系统不起任何作用。

[0089] 步骤4.应用U算子于系统,假设 $g(x)$ 存在解,则增大解的概率幅,同时减小非解的概率幅。

[0090] 对于步骤3和步骤4,可写成一个G算子,使用G算子对步骤2后的系统的量子均衡叠加态进行 $[ \pi\sqrt{2^{n_2+1}}/4 ]$ 次迭代。与前面所述方法一样,在对寄存器2测量之前,再应用一次 $H^{\otimes n_2}$ 于寄存器2。如果当前子问题不包含 $g(x)$ 的解 $x'_0$ ,则测量值为0;如果当前子问题包含 $g(x)$ 的解 $x'_0$ ,则测量结果值是随机坍缩到 $[0, 2^{n_2} - 1]$ 中的一个值。若测量值为非零值时,则当前子问题包含 $x'_0$ ,此时,只需去掉最后一次 $H^{\otimes n_2}$ ,在当前的 $x_1$ 值重新执行该系统一次,再测量即可得到 $x'_0$ 对应于 $n_2$ 的部分,假设测量值为 $x''_0$ ,则 $x'_0 = 2^{n_2}x_1 + x''_0$ 。在获得 $x'_0$ 的基础上可以通过简单的穷举法寻找 $f(x)$ 的解 $x_0$ 。

[0091] 作为一个具体的实施例,下面结合具体情况进行比较分析:

[0092] 对于一个搜索问题 $f(x)$ ,假设存在唯一解 $x_0$ 使得 $f(x_0)=1$ , $x$ 的其他取值都使得 $f$

$f(x) = 0$ , 其搜索空间为  $N = 2^n$ ,  $n$  为输入比特数量, 我们的任务是在  $N$  个待搜索元素中找到  $x_0$ 。结合图 2, 将  $n$  个输入比特分成两部分:  $n_1$  和  $n_2$ , 其中  $n_1 + n_2 = n$ , 即将原来的问题转为  $2^{n_1}$  个子搜索问题, 每个子问题对应于  $n_2$  个量子比特的输入的 Grover 搜索算法。以  $|\varphi_1\rangle, |\varphi_2\rangle, |\varphi_3\rangle, |\varphi_4\rangle$  分别表示系统中的初始状态, 初始状态经过 Hadamard 门线路的状态, 经过 Oracle 算子的状态, 经过相位概率幅值放大后的状态。初始化寄存器 1, 2 和辅助量子比特, 其中  $x_1$  取值范围为  $[0, 2^{n_1} - 1]$ , 将  $x_1$  的值转为二进制值, 并将其对应的位从高到低存储于寄存器 1 中; 寄存器 2 初始化为状态  $|0\rangle^{\otimes n_2}$ ; 辅助量子比特初始化为  $|1\rangle$ 。以  $|\varphi_1\rangle$  表示系统的初始化状态, 则:

$$[0093] \quad |\varphi_1\rangle = |x_1\rangle |0\rangle^{\otimes n_2} |1\rangle$$

[0094] 将系统的初始状态  $|\varphi_1\rangle$  对应的  $n_2$  量子比特经过 Hadamard 变换  $H^{\otimes n_2}$ , 则在寄存器 2 中可得到对应  $n_2$  量子比特的均衡叠加态  $\frac{1}{\sqrt{2^{n_2}}} \sum_{x=0}^{2^{n_2}-1} |x\rangle$ ; 辅助比特经过 Hadamard 变换  $H$ , 得到状态  $\frac{|0\rangle - |1\rangle}{\sqrt{2}}$ 。以  $|\varphi_2\rangle$  表示此时对应的状态。

$$[0095] \quad |\varphi_2\rangle = I_{n_1} \otimes H^{\otimes n_2} \otimes H |\varphi_1\rangle = |x_1\rangle \frac{1}{\sqrt{2^{n_2}}} \sum_{x=0}^{2^{n_2}-1} |x\rangle \frac{|0\rangle - |1\rangle}{\sqrt{2}}$$

[0096] 其中  $I_{n_1}$  表示单位矩阵。应用 Oracle 算子于系统, 其可以标志  $f(x)$  的解的位置, 即 Oracle 可以使得状态  $|x_0\rangle \rightarrow -|x_0\rangle$ , 对于其他状态则保持不变, 其对应的矩阵可以用  $I - 2|x_0\rangle\langle x_0|$  表示。用  $O$  表示 Oracle 算子, 则:

$$[0097] \quad |\varphi_3\rangle = O |\varphi_2\rangle = |x_1\rangle \frac{1}{\sqrt{2^{n_2}}} \sum_{x=0}^{2^{n_2}-1} (-1)^{f(x)} |x\rangle \frac{|0\rangle - |1\rangle}{\sqrt{2}}$$

[0098] 条件相移  $U_x$  算子的作用是使得寄存器 2 中状态  $|0\rangle^{\otimes n_2}$  以外的每一个计算基态获得 -1 的相位移,  $U_x$  算子可以由  $2|x_0\rangle\langle 0| - I$  表示。将  $U_x$  算子与其两边的 Hadamard 变换以  $U$  表示, 则  $U = (I_{n_1} \otimes H^{\otimes n_2}) U_x (I_{n_1} \otimes H^{\otimes n_2})$ 。

[0099]  $|\varphi_4\rangle$  表示应用  $U$  于状态  $|\varphi_3\rangle$

$$[0100] \quad \begin{aligned} |\varphi_4\rangle &= U |\varphi_3\rangle = |x_1\rangle \sum_{x=0}^{2^{n_2}-1} [-a_x + 2\langle a \rangle] |x\rangle \frac{|0\rangle - |1\rangle}{\sqrt{2}} \\ &= |x_1\rangle \left\{ \left[ \frac{1}{\sqrt{2^{n_2}}} + \frac{2}{2^{n_2}} \frac{1}{\sqrt{2^{n_2}}} (2^{n_2} - 2) \right] |x_0\rangle \right. \\ &\quad \left. + \sum_{x \neq x_0} \left[ -\frac{1}{\sqrt{2^{n_2}}} + \frac{2}{2^{n_2}} \frac{1}{\sqrt{2^{n_2}}} (2^{n_2} - 2) \right] \right\} \frac{|0\rangle - |1\rangle}{\sqrt{2}} \end{aligned}$$

[0101] 式中  $a_x = \frac{1}{\sqrt{2^{n_2}}} (-1)^{f(x)}$  表示状态  $|x\rangle$  的幅值,  $\langle a \rangle = \frac{1}{2^{n_2}} \sum_{x=0}^{2^{n_2}-1} a_x$  表示叠加态的幅值的平均值。对于图 2 中的外层虚线框部分以算子  $G$  表示, 即  $G = UO$ 。对于每个

$x_1 \in \{0, 1, 2, \dots, 2^{n_1} - 1\}$ , 在系统中重复应用G算子  $r = \lceil \pi\sqrt{2^{n_2}}/4 \rceil$  次。以  $|\varphi\rangle$  表示:

$$\begin{aligned}
 [0102] \quad |\varphi\rangle &= G^r |\varphi_2\rangle = G^r |x_1\rangle \frac{1}{\sqrt{2^{n_2}}} \sum_{x=0}^{2^{n_2}-1} |x\rangle \frac{|0\rangle - |1\rangle}{\sqrt{2}} \\
 &= |x_1\rangle \sum_{x=0}^{2^{n_2}-1} [-a_{x,r} + 2\langle a_r \rangle] |x\rangle \frac{|0\rangle - |1\rangle}{\sqrt{2}}
 \end{aligned}$$

[0103] 其中  $a_{x,r}$  是第  $r$  迭代对应状态  $|x\rangle$  的幅值,

$$[0104] \quad a_{x,r} = -a_{x,r-1} + 2\langle a_{r-1} \rangle$$

$$[0105] \quad \langle a_r \rangle = \frac{1}{2^{n_2}} \sum_{x=0}^{2^{n_2}-1} a_{x,r}$$

[0106] 当  $r=1$  时,

$$[0107] \quad a_{x,1} = \frac{1}{\sqrt{2^{n_2}}} (-1)^{f(x)}$$

$$[0108] \quad \langle a_1 \rangle = \frac{1}{2^{n_2}} \sum_{x=0}^{2^{n_2}-1} a_{x,1}$$

[0109] 如果当前子问题不包含  $f(x)$  的解  $x_0$ , 即  $x_0 \notin X_1$ ,  $X_1 = \{2^{n_2}x_1, 2^{n_2}x_1 + 1, \dots, 2^{n_2}(x_1 + 1) - 1\}$ , 则:

$$[0110] \quad |\varphi\rangle = |x_1\rangle \frac{1}{\sqrt{2^{n_2}}} \sum_{x=0}^{2^{n_2}-1} |x\rangle \frac{|0\rangle - |1\rangle}{\sqrt{2}}$$

[0111] 如果当前子问题包含  $f(x)$  的解  $x_0$ , 即  $x_0 \in X_1$ , 则:

$$[0112] \quad |\varphi\rangle = [-a_{x_0,r} + 2\langle a_r \rangle] |x_0\rangle \frac{|0\rangle - |1\rangle}{\sqrt{2}} \approx |x_0\rangle \frac{|0\rangle - |1\rangle}{\sqrt{2}}$$

[0113] 在使用G算子对系统的量子均衡叠加态进行  $\lceil \pi\sqrt{2^{n_2}}/4 \rceil$  次迭代后, 对寄存器2的量子叠加态进行测量, 如果当前子搜索问题包含原问题的解  $x_0$ , 测量结果将于接近1的概率得到解  $x_0$  对应于  $n_2$  的部分, 假设测量值为  $x'$ , 则  $x_0 = 2^{n_2}x_1 + x'$ 。若当前子搜索问题不包含原问题的解  $x_0$ , 则测量的结果值是量子均衡叠加态随机坍缩到  $[0, 2^{n_2} - 1]$  中的一个值。因此, 这不能区分当前子问题是否包含原问题的解。考虑到多数情况下, 当前子问题是不包含原问题的解, 因此, 在对寄存器2测量之前, 再应用一次Hadamard变换  $H^{\otimes n_2}$  于寄存器2。如果当前子问题不包含原问题的解, 在最后应用  $H^{\otimes n_2}$  到系统中之前, 寄存器2的量子状态是均衡叠加状态, 因此, 应用  $H^{\otimes n_2}$  于寄存器2, 测量得到的结果值一定是0; 如果当前子问题包含原问题的解, 则测量结果值是随机坍缩到  $[0, 2^{n_2} - 1]$  中的一个值。由此可知, 当测量结果为非零值时, 可以判断当前子问题包含解, 此时, 只需去掉最后一次Hadamard变换  $H^{\otimes n_2}$ , 在当前的  $x_1$  值重新执行该系统一次, 再测量即可得到  $x_0$  对应于  $n_2$  的部分, 假设测量值为  $x'$ , 则

$x_0 = 2^{n_2}x_1 + x'$ 。如果测量结果为0值,则取 $x_1$ 的下一个值再次执行此系统。总的来说,该方法可以在运行时间复杂度为 $O(2^{n_1})$ 和线路复杂度为 $O(2^{n_2/2})$ 的情况下找到问题的解。

[0114] 值得注意的是,如果当前子问题包含原问题的解,由该系统得到叠加态经测量后,测量值有可能为0值,此时,该方法无法找到正确的解,由于测量状态是随机坍缩到 $[0, 2^{n_2} - 1]$ 中的其中一个状态,而测量之前的寄存器2中的量子状态接近于均匀叠加状态,因此,由于随机坍缩到0值而找不到正确的解的概率约等于 $1/2^{n_2}$ 。

[0115] 为了更进一步降低量子线路规模,对于一个搜索问题 $f(x)$ ,可以先求出 $g(x)$ 的唯一解 $x'_0$ ,再由 $x'_0$ 求 $f(x)$ 的 $x_0$ 。结合图3,将 $n$ 个输入比特分成两部分: $n_1, n_2$ 和 $n_3$ ,其中 $n_1+n_2+n_3=n$ 。以 $|\varphi_1\rangle, |\varphi_2\rangle, |\varphi_3\rangle$ 分别表示系统中的初始状态,初始状态经过Hadamard门线路的状态,经过 $r$ 此迭代算子 $G$ 的状态。以 $x_1$ 对应的二进制初始化寄存器1;寄存器2、3分别初始化为 $|0\rangle^{\otimes n_2}, |0\rangle^{\otimes n_3}$ ;辅助比特0、1分别初始化为 $|0\rangle, |1\rangle$ ,辅助比特0的主要作用是控制寄存器3(以下分析过程忽略辅助比特0,这并不影响结果),则:

$$[0116] \quad |\varphi_1\rangle = |x_1\rangle|0\rangle^{\otimes n_2}|0\rangle^{\otimes n_3}|1\rangle$$

$$[0117] \quad |\varphi_2\rangle = I_{n_1} \otimes H^{\otimes n_2} \otimes H^{\otimes n_3} \otimes H|\varphi_1\rangle = |x_1\rangle \frac{1}{\sqrt{2^{n_2}}} \sum_{x=0}^{2^{n_2}-1} |x\rangle \frac{1}{\sqrt{2^{n_3}}} \sum_{y=0}^{2^{n_3}-1} |y\rangle \frac{|0\rangle - |1\rangle}{\sqrt{2}}$$

[0118] 其中, $y$ 为对应寄存器3中的量子状态;

[0119] 以 $0$ 表示Oracle算子,这里 $0$ 的主要作用是标志 $g(x)$ 的解的位置,使得状态 $|x_0'\rangle \rightarrow -|x_0'\rangle$ ,其他状态则保持不变,其对应的矩阵可以用 $I - 2|x_0'\rangle\langle x_0'|$ 表示。以 $U$ 表示条件相移 $U_x$ 算子与其两边的Hadamard变换的结果,即:

$$[0120] \quad U = (I_{n_1} \otimes H^{\otimes n_2} \otimes I_{n_3})U_x(I_{n_1} \otimes H^{\otimes n_2} \otimes I_{n_3})$$

[0121] 对于图3将虚线框对应算子 $G$ ,则 $G = U0$ 。 $|\varphi_3\rangle$ 表示系统经过迭代 $G$ 算子 $r = \lceil \pi\sqrt{2^{n_2+1}}/4 \rceil$ 次对应的状态。

$$[0122] \quad |\varphi_3\rangle = G^r|\varphi_2\rangle = |x_1\rangle \frac{1}{\sqrt{2^{n_2}}} \sum_{x=0}^{2^{n_2}-1} |x\rangle \frac{1}{\sqrt{2^{n_3}}} \sum_{y=0}^{2^{n_3}-1} |y\rangle \frac{|0\rangle - |1\rangle}{\sqrt{2}}$$

$$[0123] \quad = |x_1\rangle \sum_{x=0}^{2^{n_2}-1} [-a_{x,r} + 2\langle a_r \rangle] |x\rangle \frac{1}{\sqrt{2^{n_3}}} \sum_{y=0}^{2^{n_3}-1} |y\rangle \frac{|0\rangle - |1\rangle}{\sqrt{2}}$$

[0124] 当 $r=1$ 时, $a_{x,1} = \frac{1}{\sqrt{2^{n_2}}}(-1)^{g(x)}$ ,  $\langle a_1 \rangle = \frac{1}{2^{n_2}} \sum_{x=0}^{2^{n_2}-1} a_{x,1}$ 。如果当前子问题不包含 $g(x)$ 的解 $x_0'$ ,即 $x_0' \notin X_1$ ,则:

$$[0125] \quad |\varphi_3\rangle = |x_1\rangle \frac{1}{\sqrt{2^{n_2}}} \sum_{x=0}^{2^{n_2}-1} |x\rangle \frac{1}{\sqrt{2^{n_3}}} \sum_{y=0}^{2^{n_3}-1} |y\rangle \frac{|0\rangle - |1\rangle}{\sqrt{2}}$$

[0126] 如果当前子问题包含 $g(x)$ 的解 $x_0'$ ,即 $x_0' \in X_1$ ,则:

$$\begin{aligned}
|\varphi_3\rangle &\approx [-a_{x,r} + 2\langle a_r |] |x_0'\rangle \frac{1}{\sqrt{2^{n_3}}} \sum_{y=0}^{2^{n_3}-1} (-1)^{\langle y, y_0 \rangle} |y\rangle \frac{|0\rangle - |1\rangle}{\sqrt{2}} \\
[0127] \quad &\approx |x_0'\rangle \frac{1}{\sqrt{2^{n_3}}} \sum_{y=0}^{2^{n_3}-1} (-1)^{\langle y, y_0 \rangle} |y\rangle \frac{|0\rangle - |1\rangle}{\sqrt{2}}
\end{aligned}$$

[0128] 其中  $\langle y, y_0 \rangle = (y^0 \cap y_0^0) \oplus (y^1 \cap y_0^1) \oplus \dots \oplus (y^{2^{n_3}-1} \cap y_0^{2^{n_3}-1})$ ;

[0129]  $y^i$  表示状态  $|y\rangle$  对应的  $i$  位的状态,  $y_0$  表示搜索问题的解对应寄存器3中的  $n_3$  比特的部分。

[0130] 在系统经过  $r$  次迭代后, 对寄存器2进行测量, 和前面所述方法一样, 在测量之前, 再应用一次 Hadamard 变换  $H^{\otimes n_2}$  于寄存器2。如果当前子问题不包含  $g(x)$  的解  $x_0'$ , 则测量结果值一定是0; 如果当前子问题包含  $x_0'$ , 则去掉最后一次 Hadamard 变换  $H^{\otimes n_2}$ , 在当前的  $x_1$  值重新执行该系统一次, 再测量即可得到  $x_0'$  对应于  $n_2$  的部分, 假设测量值为  $x'$ , 则  $x_0' = 2^{n_2} x_1 + x'$ 。在获得  $g(x)$  的解  $x_0'$  后, 以简单的穷举法计算  $f(2^{n_3} x_0' + k)$  是否等于1从而确定  $k$  值, 若等于1即找到原来搜索问题的解  $x_0 = 2^{n_3} x_0' + k$ 。

[0131] 图4为该算法对应的 Oracle 的线路, 比较器 (线路 compare) 的主要作用是对比状态  $|0\rangle^{\otimes n_3}$  和寄存器3的结果。如果当前子问题不包含  $x_0'$ , 则此时寄存器3中的量子状态是  $|0\rangle^{\otimes n_3}$ , 经过比较器后, 使得辅助量子比特0从状态  $|0\rangle$  变为状态  $|1\rangle$  从而使得受控  $U_H$  门应用于寄存器3对应的量子比特, 受控  $U_H$  门的主要作用是在当前子问题不包含解的情况下, 系统进行下一次迭代时保证寄存器3中的量子比特是均衡叠加状态; 辅助量子比特1则保持不变。如果当前子问题包含  $x_0'$ , 则量子比特0保持不变, 从而受控  $U_H$  门不对系统起作用; 辅助量子比特1则从状态  $\frac{|0\rangle - |1\rangle}{\sqrt{2}}$  变为状态  $\frac{|1\rangle - |0\rangle}{\sqrt{2}}$  从而标志  $g(x)$  的解。如果当前子问题包含  $x_0'$ , 以  $|y_0\rangle$  表示系统经过图4里面虚线框的线路对应寄存器3的量子状态, 以  $|y_0'\rangle$  表示状态  $|y_0\rangle$  经过  $H^{\otimes n_3}$  的状态, 则:

$$[0132] \quad |y_0'\rangle = H^{\otimes n_3} |y_0\rangle \approx \frac{1}{\sqrt{2^{n_3}}} \sum_{y=0}^{2^{n_3}-1} (-1)^{\langle y, y_0 \rangle} |y\rangle$$

[0133] 其对应的状态有一半的量子比特获得-1的相位移动。该算法整个 Oracle 算子的作用是标志  $g(x)$  的解  $x_0'$ , 效果等价于在  $n_2$  个量子搜索空间中标志出解, 如果在  $n_2 + n_3$  个量子搜索空间中标志, 则相当于简单地标志了  $2^{n_3}$  个解, 量子线路的复杂度为

$O\left(\sqrt{\frac{2^{n_2+n_3}}{2^{n_3}}}\right) = O(2^{n_2/2})$ 。由于  $|y_0'\rangle$  有一半的量子比特获得-1的相位移动, 等效于标志了  $2^{n_3-1}$  个解, 因此, 量子线路复杂度应为  $O\left(\sqrt{\frac{2^{n_2+n_3}}{2^{n_3-1}}}\right) = O(\sqrt{2^{n_2+1}})$ , 因此, 在该系统中需要迭代

$r = \lceil \pi \sqrt{2^{n_2+1}} / 4 \rceil$  次 G 算子, 如果忽略系数  $\sqrt{2}$ , 则线路复杂度为  $O(2^{n_2/2})$ 。由图4可知, 在 Oracle 算子里, 里面的 G 算子迭代了  $O(2^{n_3/2})$ , 因此整个量子线路复杂度为  $O(2^{n_2/2} \cdot 2^{n_3/2})$ ,

通常 $n_3$ 的占比较小,假设将Oracle算子看为一个单元,则线路复杂度为 $O(2^{n_2/2})$ 。最后,在获得 $g(x)$ 的解 $x_0'$ 时,通过简单穷举确定 $k$ 值,即可确定原问题的解 $x_0 = 2^{n_3}x_0' + k$ 。由于该算法是基于前面所述方法实现的,因此,在对寄存器2测量时,则会以概率为 $1/2^{n_2}$ 得到的结果为0,这意味着该算法找不到解。

[0134] 此外,Grover算法本身就是一种概率型搜索算法,因此,对于这两种方法还存在Grover算法本身对应的测量误差,假设 $f(x)$ 存在唯一解 $x_0$ ,以 $|\alpha\rangle = \frac{1}{\sqrt{N-1}}\sum_{x \neq x_0}|x\rangle$ 表示非解, $|\beta\rangle = |x_0\rangle$ 表示解,则系统的均衡叠加状态:

$$[0135] \quad |\varphi\rangle = \frac{\sqrt{N-1}}{\sqrt{N}}|\alpha\rangle + \frac{1}{\sqrt{N}}|\beta\rangle$$

[0136]  $|\alpha\rangle$ 和 $|\beta\rangle$ 张量成一个二维空间,如图5所示。在系统经过 $r$ 次的迭代算子 $G$ ,状态 $G^r|\varphi\rangle$ 接近 $|\beta\rangle$ ,两者之间存在一定的夹角。令:

$$[0137] \quad \cos \frac{\theta}{2} = \frac{\sqrt{N-1}}{\sqrt{N}},$$

$$[0138] \quad \sin \frac{\theta}{2} = \frac{1}{\sqrt{N}},$$

[0139] 则:

$$[0140] \quad |\varphi\rangle = \cos \frac{\theta}{2}|\alpha\rangle + \sin \frac{\theta}{2}|\beta\rangle$$

[0141] 在系统上应用 $G$ ,则:

$$[0142] \quad G|\varphi\rangle = \cos \frac{3\theta}{2}|\alpha\rangle + \sin \frac{3\theta}{2}|\beta\rangle$$

[0143] 在系统迭代 $r$ 次 $G$ ,

$$[0144] \quad G^r|\varphi\rangle = \cos \frac{(2r+1)\theta}{2}|\alpha\rangle + \sin \frac{(2r+1)\theta}{2}|\beta\rangle$$

[0145] 当 $N$ 很大时, $\theta \approx \sin \theta \approx \frac{2}{\sqrt{N}}$ ,因此最终状态 $|\varphi'\rangle$ 和 $|\beta\rangle$ 的角误差至多为 $\frac{\theta}{2} \approx \frac{1}{\sqrt{N}}$ 测量最终的误差概率为 $\frac{1}{N}$ ,因此,对于上述两种方法,存在 $1/2^{n_2}$ 的误差概率。为了使 $|\varphi'\rangle$ 最接近 $|\beta\rangle$ ,则:

$$[0146] \quad \sin \frac{(2r+1)\theta}{2} \approx 1$$

[0147] 解得 $r = \lceil \pi\sqrt{N}/4 \rceil$ 。

[0148] 以上所述都是针对 $f(x)$ 只有一个解 $x_0$ ,假设 $f(x)$ 存在 $M$ 个解,以 $|X_0| = M$ 表示解空间,则:

$$[0149] \quad |\alpha\rangle = \frac{1}{\sqrt{N-M}} \sum_{x \notin X_0} |x\rangle$$

$$[0150] \quad |\beta\rangle = \frac{1}{\sqrt{M}} \sum_{x \in X_0} |x\rangle$$

$$[0151] \quad |\varphi\rangle = \sqrt{\frac{N-M}{N}} |\alpha\rangle + \sqrt{\frac{M}{N}} |\beta\rangle$$

[0152] 令：

$$[0153] \quad \cos \frac{\theta}{2} = \sqrt{\frac{N-M}{N}}$$

$$[0154] \quad \sin \frac{\theta}{2} = \sqrt{\frac{M}{N}}$$

[0155] 在系统迭代 $r$ 次 $G$ ,

$$[0156] \quad G^r |\varphi\rangle = \cos \frac{(2r+1)\theta}{2} |\alpha\rangle + \sin \frac{(2r+1)\theta}{2} |\beta\rangle ;$$

[0157] 当 $M \ll N$ 时,  $\theta \approx \sin \theta \approx 2\sqrt{\frac{M}{N}}$ , 因此,

$$[0158] \quad \sin \frac{(2r+1)\theta}{2} \approx 1$$

[0159] 解得 $r = \lceil \pi/4\sqrt{N/M} \rceil$ 。

[0160] 对于第二个算法, 由于 $\oplus$ 算子不能保证 $g(x)$ 等于1, 因此, 需要重新设计 $g(x)$ , 令 $g(x) = f(2^{n_3}x + 0) \cup f(2^{n_3}x + 1) \cup f(2^{n_3}x + 1) \cdots \cup f(2^{n_3}x + 2^{n_3} - 1)$ 。

[0161] 可以保证当 $f(x)$ 存在解时, 则 $g(x) = 1$ 。以上所述算法都是将原来搜索问题转化为 $2^{n_1}$ 个子问题, 不妨假设, 每个子问题对应有 $M/2^{n_1}$ 个解, 令 $M' = \max(\frac{M}{2^{n_1}}, 1)$ , 则对每子问题, 需要迭代 $O(\sqrt{2^{n_2}/M'})$ 次 $G$ 。当 $M \ll N$ 时, 系统量子线路迭代次数约等于 $O(\sqrt{2^{n_2}})$ 。

[0162] 附图中描述位置关系的用语仅用于示例性说明, 不能理解为对本专利的限制;

[0163] 显然, 本发明的上述实施例仅仅是为清楚地说明本发明所作的举例, 而并非是对本发明的实施方式的限定。对于所属领域的普通技术人员来说, 在上述说明的基础上还可以做出其它不同形式的变化或变动。这里无需也无法对所有的实施方式予以穷举。凡在本发明的精神和原则之内所作的任何修改、等同替换和改进等, 均应包含在本发明权利要求的保护范围之内。

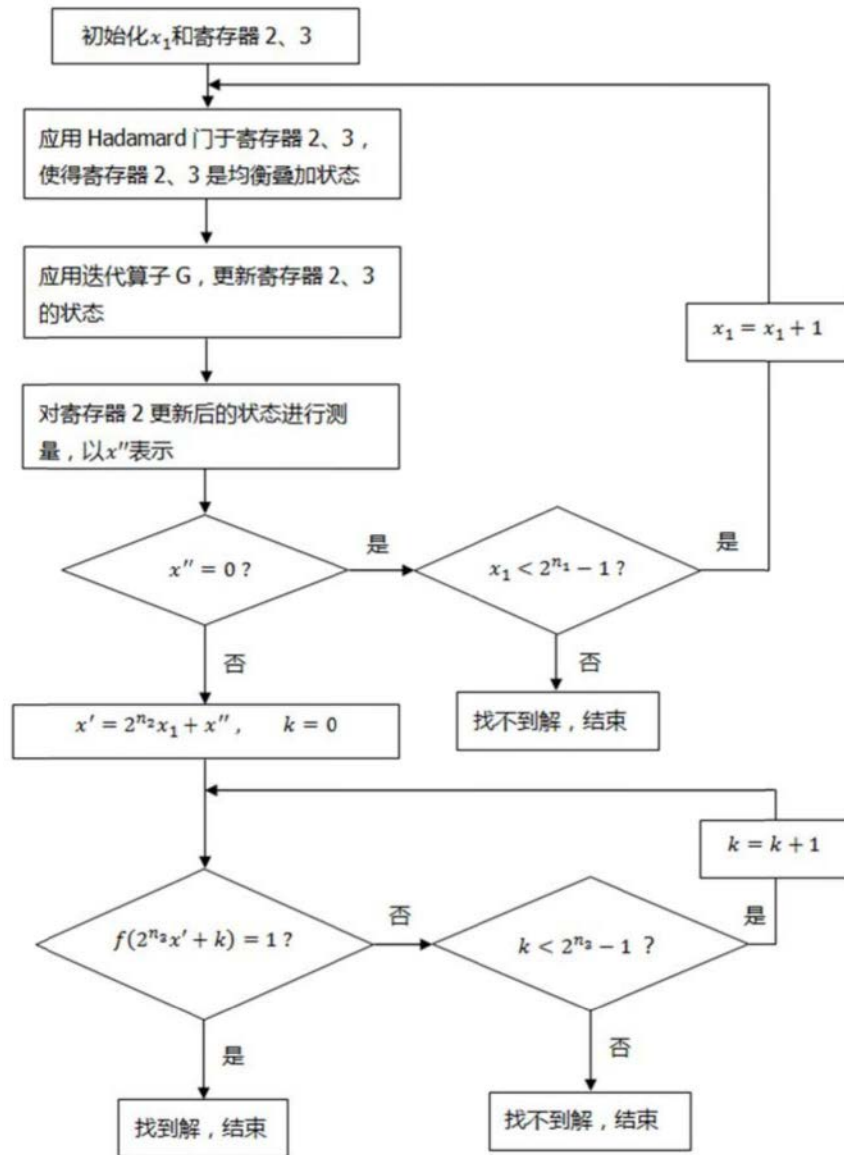


图1

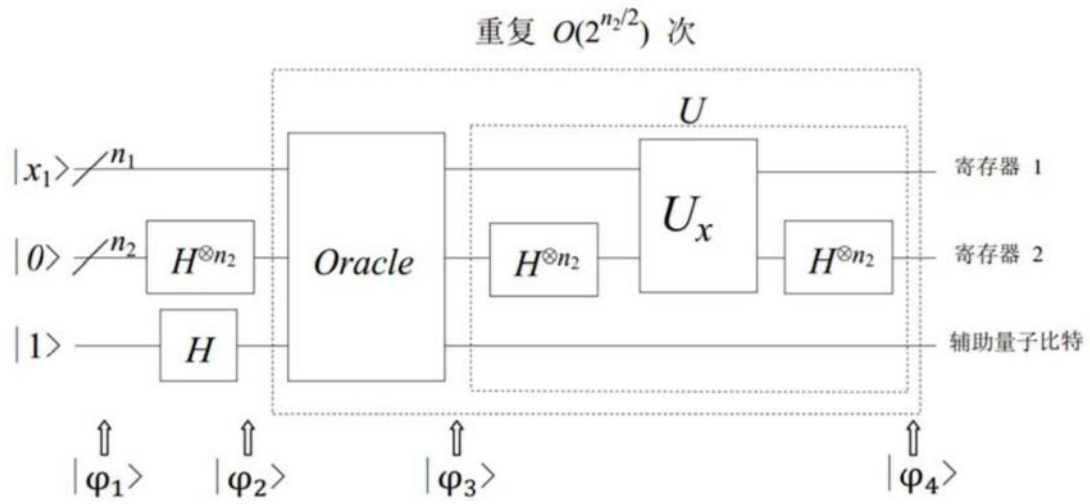


图2

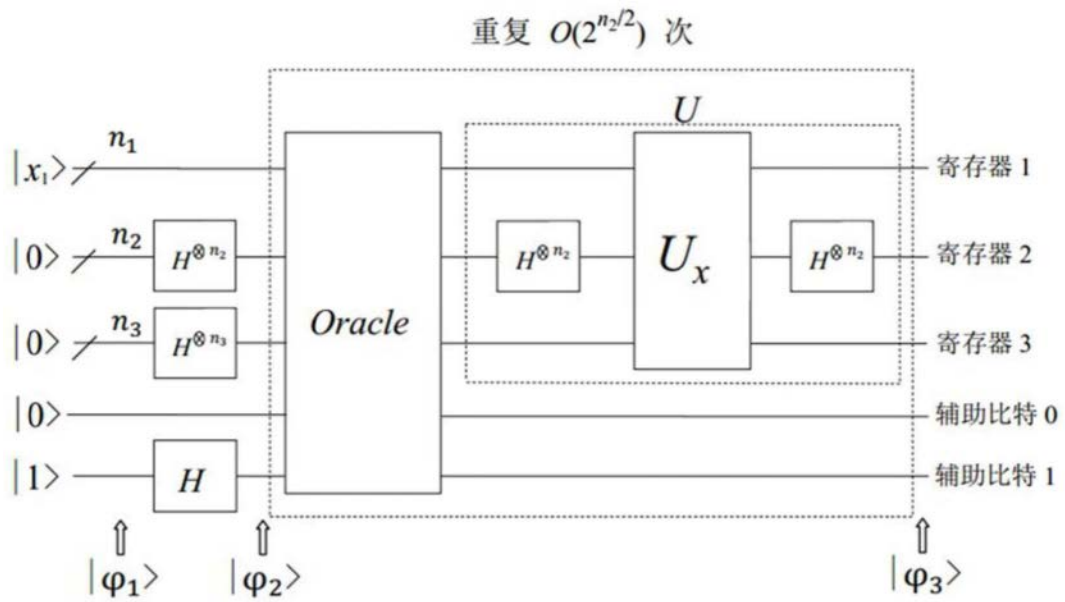


图3

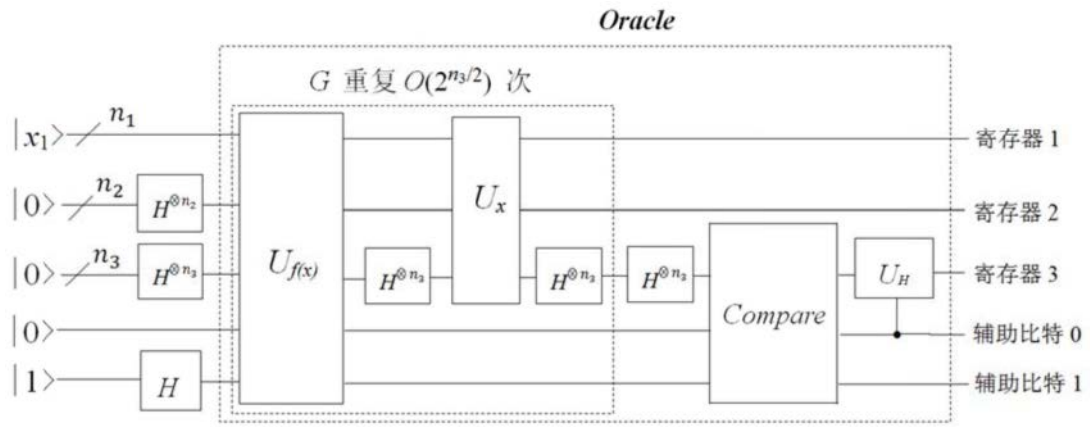


图4

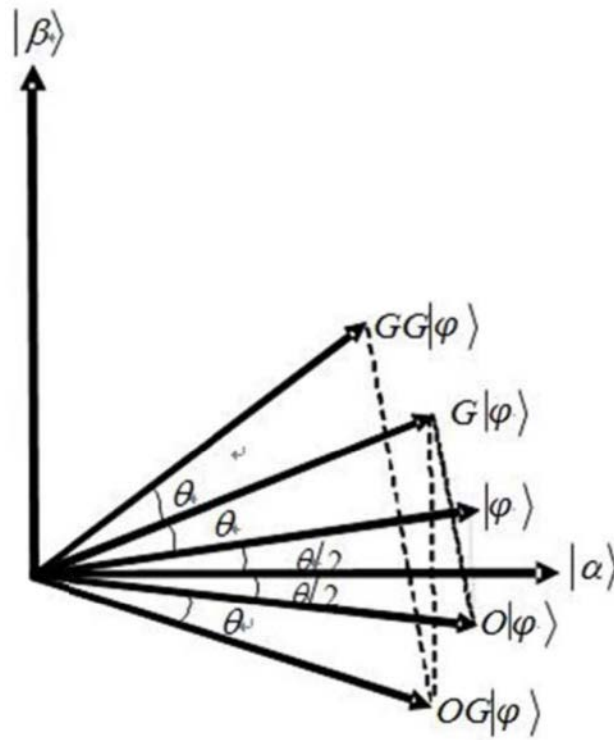


图5